

Conversion de l'énergie

aroquiadassou@eriee-amiens.fr

Chapitre I : Système triphasé

I. Introduction

L'électrotechnique (Genie Electrique) c'est la physique qui permet d'étudier:

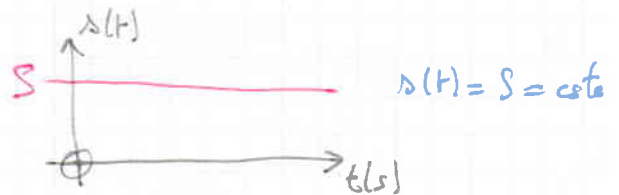
- la production de l'EE (énergie électrique)
 - le transport " "
 - la transformat° " "
 - l'exploitat° " "
- } optimisat° de l'EE
⇒ DDurable

II/ - Rappels fondamentaux

1) Régime continu (DC, \equiv)

Grandeurs constantes et indépendantes du temps

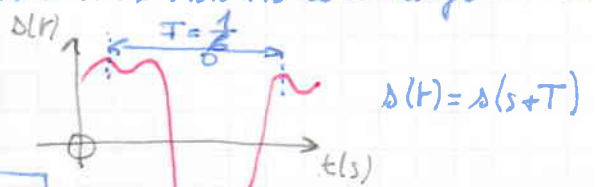
En régime continu, on a que des valeurs moyennes.



2) Grandeurs périodiques

Grandeurs temporelles qui se reproduisent identiquement entre deux instants consécutifs et...

sont dépendant du temps



• Valeur moyenne

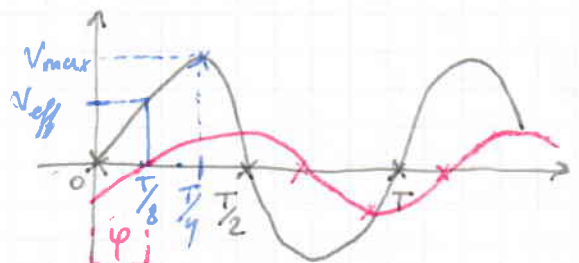
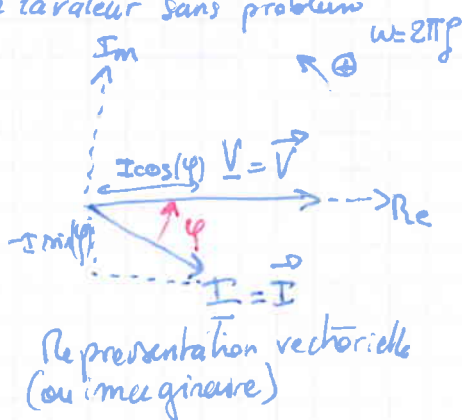
$$S_{\text{moy}} = \frac{1}{T} \int_0^T s(t) dt$$

• Valeur efficace

$$S = S_{\text{eff}} = \sqrt{\frac{1}{T} \int_0^T s^2(t) dt}$$

3) Grandeurs sinusoïdales (AC, \simeq)

Avantage: Augmentation de la valeur sans problème



Représentation temporelle.

où φ : déphasage

Écritures:

→ Temporelles

$$v(t) = V_{\text{max}} \sin(\omega t) = V\sqrt{2} \sin(\omega t)$$

$$v(\theta) = V_{\text{max}} \sin(\theta) = V\sqrt{2} \sin(\theta)$$

$$i(t) = I_{\text{max}} \sin(\omega t - \varphi) = I\sqrt{2} \sin(\omega t - \varphi)$$

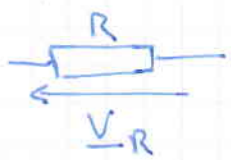
→ Complexes

$$\underline{V} = V e^{j0^\circ} = V \text{ (origine)}$$

$$\underline{I} = I e^{-j\varphi}$$

4) Rappel sur quelques récepteurs

* Résistance



$$\begin{cases} v_R = V\sqrt{2} \sin(\omega t) \\ \underline{V}_R = V \end{cases}$$

→ Impédance complexe

$$\underline{Z}_R = R (\Omega)$$

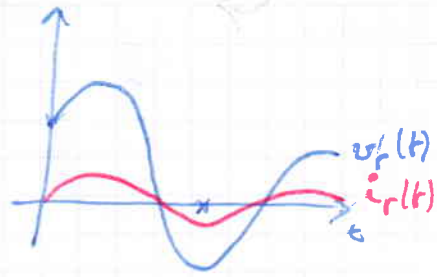
$$\underline{V}_R = \underline{Z}_R \underline{I}_R$$

$$\underline{V}_R = R \underline{I}_R$$

$$\Rightarrow \underline{I}_R = \frac{\underline{V}_R}{R} = \frac{V}{R} e^{j0}$$

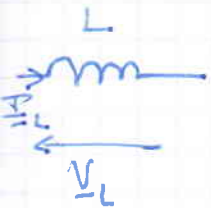


\underline{I}_R et \underline{V}_R sont en phase



$$\begin{aligned} i_R(t) &= I_{\max} \sin(\omega t) \\ &= \frac{V_{\max}}{R} \sin(\omega t) \end{aligned}$$

* Inductance (L) L en H (Henri)



$$\begin{cases} v_L(t) = V\sqrt{2} \sin(\omega t) \\ \underline{V}_L = V \end{cases}$$

$$\underline{Z}_L = jL\omega = X_L e^{j90^\circ} = X_L e^{j\frac{\pi}{2}}$$

$X_L = L\omega$ (Reactance inductive)

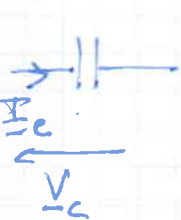
$$\underline{I}_L = \frac{\underline{V}_L}{\underline{Z}_L} = \frac{V}{X_L e^{j90^\circ}} = \frac{V}{X_L} e^{-j90^\circ}$$



$$i_L(t) = I_{\max} \sin(\omega t - \frac{\pi}{2}) = \frac{V}{X_L} \sqrt{2} \sin(\omega t - \frac{\pi}{2})$$

$$i_L(t) = I \sqrt{2} \sin(\omega t - \frac{\pi}{2})$$

* Condensateur (C) C en F (Farad)

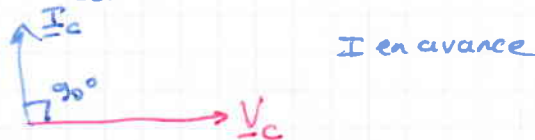


$$\begin{cases} v_C(t) = V\sqrt{2} \sin(\omega t) \\ \underline{V}_C = V \end{cases}$$

$$\underline{Z}_C = \frac{1}{jC\omega} = X_C e^{-j90^\circ} = X_C e^{-j\frac{\pi}{2}}$$

$X_C = \frac{1}{C\omega}$ (Reactance capacitive)

$$\underline{I}_C = \frac{\underline{V}_C}{\underline{Z}_C} = \frac{V}{X_C} e^{j\frac{\pi}{2}}$$



$$i_C(t) = I_{\max} \sin(\omega t + \frac{\pi}{2}) = \frac{V}{X_C} \sqrt{2} \sin(\omega t + \frac{\pi}{2})$$

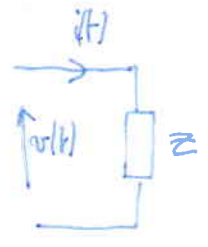
6) Les puissances électriques

a) Puissance instantanée $p(t)$

$$p(t) = v(t) \times i(t)$$

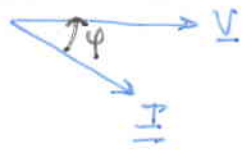
Valeur moy de $p(t)$ (P): $P = \frac{1}{T} \int_0^T p(t) dt$
 \equiv Puissance active [W].

b) Puissance active P



$$v(t) = V\sqrt{2} \sin(\omega t)$$

$$i(t) = I\sqrt{2} \sin(\omega t - \varphi)$$



$$p(t) = v(t) \times i(t)$$

$$= V\sqrt{2} \sin(\omega t) \times I\sqrt{2} \sin(\omega t - \varphi)$$

$$= 2VI \frac{1}{2} [\cos(\omega t - \omega t + \varphi) - \cos(\omega t + \omega t - \varphi)]$$

$$p(t) = \underbrace{VI \cos(\varphi)}_{\text{Puissance active constante}} - \underbrace{VI \cos(2\omega t - \varphi)}_{\text{Puissance fluctuante sinusoidale à 2f.}}$$

$$[p(t)]_{\text{moy}} = VI \cos(\varphi) = P \text{ [W]}$$

c) Puissance réactive Q :

$$Q = VI \sin(\varphi) \text{ [VAR]}$$

Volt Ampère Réactif

d) Puissance apparente complexe: \underline{S}

$$\underline{S} = \underline{V} \times \underline{I}^*$$

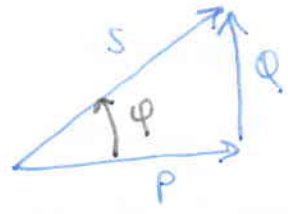
où \underline{I}^* est le complexe conjugué de \underline{I} .

$$\underline{V} = V \text{ et } \underline{I} = I e^{-j\varphi} \Rightarrow \underline{I}^* = I e^{j\varphi}$$

$$\underline{S} = VI e^{j\varphi} = \underbrace{VI \cos(\varphi)}_P + j \underbrace{VI \sin(\varphi)}_Q \text{ donc } \underline{S} = P + jQ$$

$$\underline{S} = S e^{j\varphi} \text{ où } S = VI \text{ [VA]}$$

Volt Ampère



En conclusion: (en monophasé)

$P = VI \cos(\varphi) \text{ [W]}$	} Facteur de puissance: $F_p = \frac{P}{S} = \frac{VI \cos(\varphi)}{VI} = \cos(\varphi)$
$Q = VI \sin(\varphi) \text{ [VAR]}$	
$S = VI = \sqrt{P^2 + Q^2} \text{ [VA]}$	

$\tan(\varphi) = \frac{Q}{P} = \frac{VI \sin(\varphi)}{VI \cos(\varphi)}$

Exemple avec les récepteurs:

(R): $\underline{V} = V, \underline{I} = I$



$\underline{S} = VI = P \Rightarrow \begin{cases} P = VI \\ \Phi = 0 \end{cases}$

Consommée
R consomme P

(L): $\underline{V} = V, \underline{I} = Ie^{-j\frac{\pi}{2}} \Rightarrow \underline{I}^* = Ie^{j\frac{\pi}{2}}$

$\underline{S} = VI \cos(\frac{\pi}{2}) + jVI \sin(\frac{\pi}{2}) = jVI = j\Phi \Rightarrow \begin{cases} P = 0 \\ \Phi = VI \end{cases}$

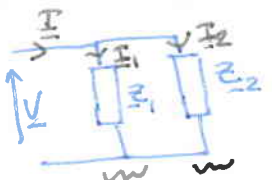
Consommée
L consomme Φ

(C): $\underline{V} = V, \underline{I} = Ie^{j\frac{\pi}{2}} \Rightarrow \underline{I}^* = Ie^{-j\frac{\pi}{2}}$

$\underline{S} = VI \cos(\frac{-\pi}{2}) + jVI \sin(\frac{-\pi}{2}) = -jVI = -j\Phi \Rightarrow \begin{cases} P = 0 \\ \Phi = -VI \end{cases}$

Fournie
C fournit Φ

Exemple:



P_T	P_1	P_2
Φ_T	Φ_1	Φ_2
S_T	S_1	S_2

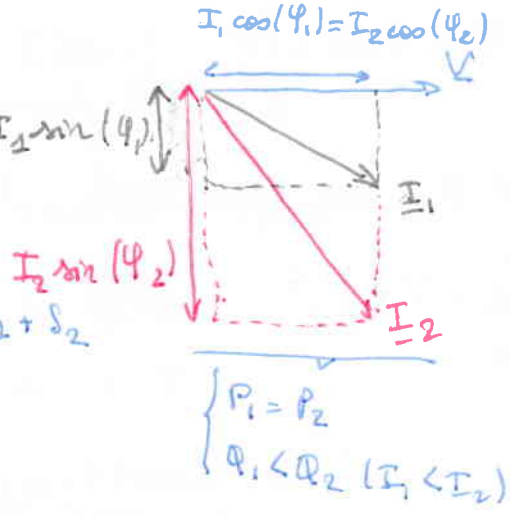
Théorème de Boucherot:

Pour le réseau:

$P_T = \sum_{i=1}^n P_i = P_1 + P_2$

$\Phi_T = \sum_{i=1}^n \Phi_i = \Phi_1 + \Phi_2$

$S_T = \sqrt{P_T^2 + \Phi_T^2} \neq S_1 + S_2$



$\begin{cases} P_1 = P_2 \\ \Phi_1 < \Phi_2 (I_1 < I_2) \end{cases}$

Ligne d'alimentation de $S = 1 \text{ kVA}$

Si $\Phi = 0$ ($\cos(\Phi) = 1$) $\Rightarrow P = 1 \text{ kW}$

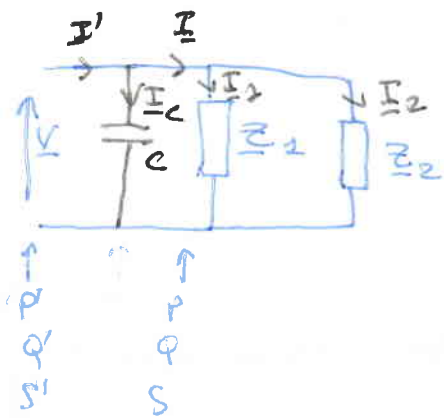
Si $\cos(\Phi) = 0,5 \Rightarrow P = 500 \text{ W}$

Plus $\Phi \uparrow$, plus $I \uparrow$ donc la ligne risque d'être surchargée.

\Rightarrow Le distributeur d'énergie (Eredis) ne tolère qu'une partie ne tolère qu'une partie de consommation réactive. La limite est fixée à $\cos(\Phi) = 0,93$ ($\tan(\Phi) = 0,4$)

le dépassement de consommation d'énergie est facturé

\Rightarrow Solution pour compenser le $\cos(\Phi)$: Utilisation de condensateur.



$$\begin{cases} P = VI \cos(\varphi) \\ Q = VI \sin(\varphi) \\ S = VI \\ \varphi = P \tan(\varphi) \end{cases}
 \quad
 \begin{cases} P' = VI' \cos(\varphi') \\ Q' = VI' \sin(\varphi') \\ S' = VI' \\ \varphi' = P \tan(\varphi') \end{cases}
 \quad
 P = P'$$

$$Q_c = Q - Q' = P(\tan(\varphi) - \tan(\varphi')) = \omega CV^2$$

$$\Rightarrow C = \frac{Q_c}{\omega V^2} = \frac{P(\tan(\varphi) - \tan(\varphi'))}{\omega V^2}$$

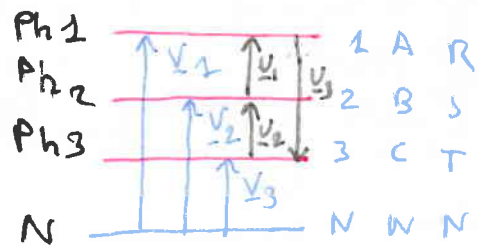
III /- Systèmes à courant alternatif triphasé.

Les systèmes triphasés de tensions et de courants forment en réalité des systèmes de production et de distribution de PEE

Triphasé: \Rightarrow 3 phases \Rightarrow $\begin{cases} 3 \text{ conducteurs} \\ \text{ou} \\ 4 \text{ conducteurs} \\ (3 \text{ phases} + 1 \text{ neutre}) \end{cases}$

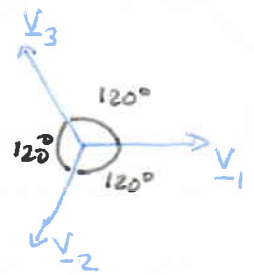
1) Tensions triphasées équilibrées.

Notation:



- Tension simples ($\underline{V}_1, \underline{V}_2, \underline{V}_3$) (rel phase et neutre)
- Tension composées ($\underline{U}_1, \underline{U}_2, \underline{U}_3$) (rel 2 phases)

$$\begin{aligned}
 v_1(t) &= V\sqrt{2} \sin(\omega t) \\
 v_2(t) &= V\sqrt{2} \sin(\omega t - \frac{2\pi}{3}) \\
 v_3(t) &= V\sqrt{2} \sin(\omega t + \frac{2\pi}{3})
 \end{aligned}$$



v_1, v_2, v_3 forment un système de tension triphasé équilibré d'ordre direct.

$$\begin{cases} \underline{U}_1 = \underline{V}_1 - \underline{V}_2 = \underline{U}_{12} \\ \underline{U}_2 = \underline{V}_2 - \underline{V}_3 = \underline{U}_{23} \\ \underline{U}_3 = \underline{V}_3 - \underline{V}_1 = \underline{U}_{31} \end{cases}$$

$$\begin{aligned}
 a &= e^{j120^\circ} = -\frac{1}{2} + j\frac{\sqrt{3}}{2} \\
 a^2 &= e^{-j120^\circ} = -\frac{1}{2} - j\frac{\sqrt{3}}{2}
 \end{aligned}$$

$$a^0 + a + a^2 = 1 + a + a^2 = 0$$

$$\underline{U}_1 = \underline{U}_{12} = \underline{V}_1 - \underline{V}_2 = V - a^2 V = V(1 - a^2) = V\sqrt{3} e^{j30^\circ} = U e^{j30^\circ}$$

$$\underline{U}_{-2} = \underline{U}_{23} = \underline{V}_2 - \underline{V}_3 = a^2 V - a V = V(a^2 - a) = V\sqrt{3} e^{-j90^\circ}$$

$$\underline{U}_{-3} = \underline{U}_{31} = \underline{V}_3 - \underline{V}_1 = a V - V = V(a - 1) = V\sqrt{3} e^{j150^\circ}$$

$$1 - a^2 = 1 - \left(-\frac{1}{2} - j\frac{\sqrt{3}}{2}\right) = \frac{3}{2} + j\frac{\sqrt{3}}{2} = \sqrt{3} \left(\frac{\sqrt{3}}{2} + j\frac{1}{2}\right) = \sqrt{3} e^{j30^\circ}$$

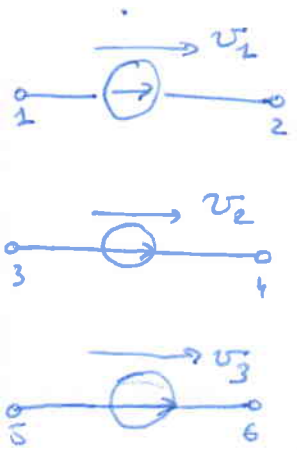
$$a^2 - a = \frac{1}{2} - j\frac{\sqrt{3}}{2} + \frac{1}{2} - j\frac{\sqrt{3}}{2} = -j\sqrt{3} = \sqrt{3} e^{-j90^\circ}$$

$$a - 1 = -\frac{1}{2} + j\frac{\sqrt{3}}{2} - 1 = -\frac{3}{2} + j\frac{\sqrt{3}}{2} = \sqrt{3} \left(\frac{-\sqrt{3}}{2} + j\frac{1}{2}\right) = \sqrt{3} e^{j150^\circ}$$

u_1, u_2, u_3 forment également un système de tension triphasé équilibré.

Exemple: Réseau triphasé $\frac{230^V}{\sqrt{3}} / \frac{400^V}{\sqrt{3}} - 50\text{Hz}$

3) Les couplages



> 3 générateurs \Rightarrow 6 connecteurs à connecter.

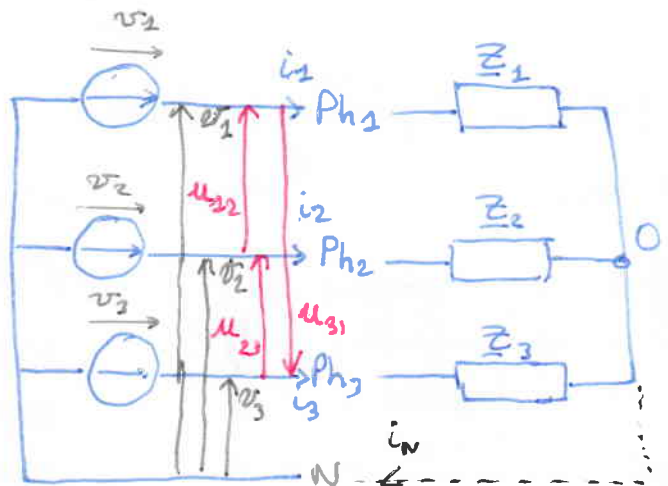
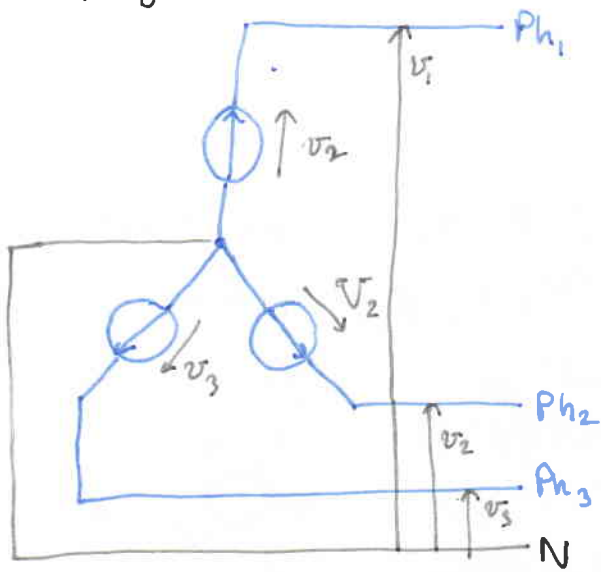
Pour distribuer sur 3 fils il faut réaliser des connexions entre les générateurs \Rightarrow Couplage.

Il existe 2 types de couplages pour les générateurs :

① Couplage étoile λ, Y

② Couplage triangle Δ, D

a) Couplage étoile:



$u_{12}, u_{23}, u_{31} \equiv \underline{U}_{12}, \underline{U}_{23}, \underline{U}_{31}$ Tensions composées

$i_1, i_2, i_3 \equiv \underline{I}_1, \underline{I}_2, \underline{I}_3$ Courant de ligne.

$v_1, v_2, v_3 \equiv \underline{V}_1, \underline{V}_2, \underline{V}_3$ Tensions simples.

$V_1 = V; V_2 = aV^2; V_3 = aV.$

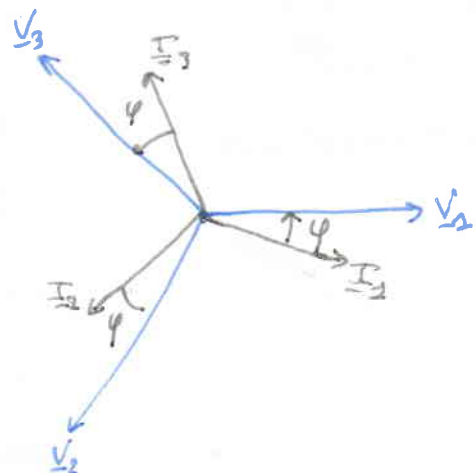
$\underline{Z} = Z e^{j\varphi} = R + jL\omega$ avec $\begin{cases} Z = \sqrt{R^2 + (L\omega)^2} \\ \varphi = \text{Arctan}\left(\frac{L\omega}{R}\right) \end{cases}$

$\underline{I}_1 = I e^{-j\varphi}; \underline{I}_2 = a^2 \underline{I}_1; \underline{I}_3 = a \underline{I}_1$

avec $I = \frac{V}{Z}$

$\underline{I}_1 = \frac{V_1}{Z} = \frac{V}{Z e^{j\varphi}} = \frac{V}{Z} e^{-j\varphi} = I e^{-j\varphi}$

$\underline{V}_1 + \underline{V}_2 + \underline{V}_3 = 0$ $v_1 + v_2 + v_3 = 0$
 $\underline{I}_1 + \underline{I}_2 + \underline{I}_3 = 0$ $i_1 + i_2 + i_3 = i_N$



si le fil neutre est présent (liaison entre N et 0)

$$\Rightarrow \underline{V}'_1 = \underline{V}_1, \underline{V}'_2 = \underline{V}_2, \underline{V}'_3 = \underline{V}_3 \quad \text{et}$$

$$\underline{I}_1 = \frac{\underline{V}_1}{\underline{Z}_1}, \underline{I}_2 = \frac{\underline{V}_2}{\underline{Z}_2}, \underline{I}_3 = \frac{\underline{V}_3}{\underline{Z}_3}$$

$$\underline{I}_N = \underline{I}_1 + \underline{I}_2 + \underline{I}_3 = \frac{\underline{V}_1}{\underline{Z}_1} + \frac{\underline{V}_2}{\underline{Z}_2} + \frac{\underline{V}_3}{\underline{Z}_3}$$

$$\underline{I}_N = \frac{\underline{V}}{\underline{Z}} (1 + a^2 + a) = 0$$

* Avec le fil neutre.

$$\underline{V}'_1 = \underline{V}_1, \underline{V}'_2 = \underline{V}_2, \underline{V}'_3 = \underline{V}_3$$

$$\underline{I}_N = \underline{I}_1 + \underline{I}_2 + \underline{I}_3 = 0 \quad \text{si } \underline{Z}_1 = \underline{Z}_2 = \underline{Z}_3 = \underline{Z}$$

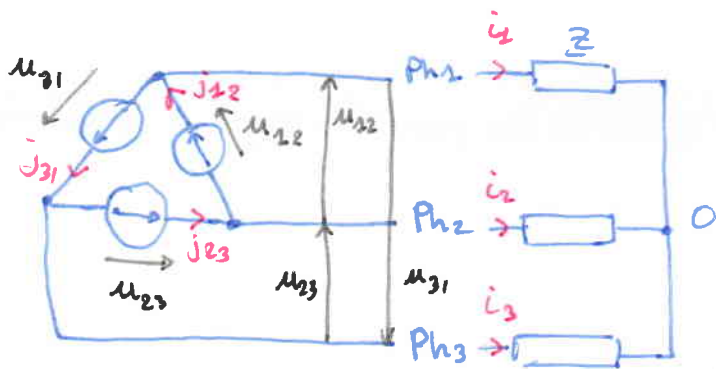
T

* Sans le fil neutre.

$$\underline{V}'_1 = \underline{V}_1, \underline{V}'_2 = \underline{V}_2, \underline{V}'_3 = \underline{V}_3 \quad \text{si } \underline{Z}_1 = \underline{Z}_2 = \underline{Z}_3 = \underline{Z}$$

$$\underline{I}_N = \underline{I}_1 + \underline{I}_2 + \underline{I}_3 = 0$$

b) Couplage triangle.



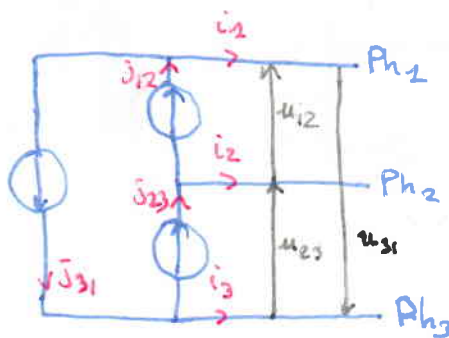
Remarques:

- Pas de neutre
- Tensions composées (Pas de tensions simples)
- 2 types de courants
 - Courant de lignes: i_1, i_2, i_3
 - Courant de phases: j_{12}, j_{23}, j_{31}

$$\underline{I}_1 = \underline{J}_{12} - \underline{J}_{23} = \underline{J}(1 - a) = \underline{J}\sqrt{3} e^{-j30^\circ}$$

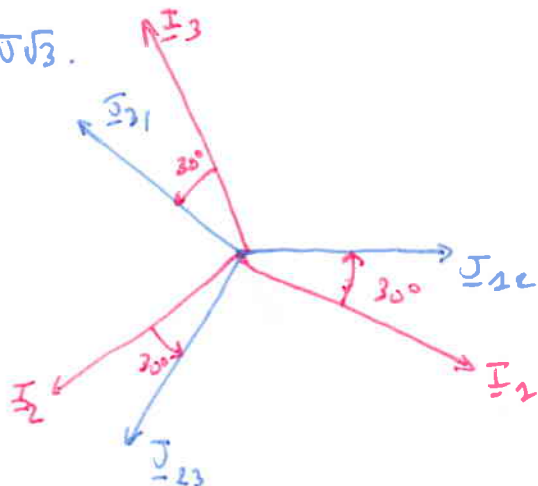
$$\underline{I}_2 = \underline{J}_{23} - \underline{J}_{31} = \underline{J}(a^2 - a) = \underline{J}\sqrt{3} e^{-j150^\circ}$$

$$\underline{I}_3 = \underline{J}_{31} - \underline{J}_{12} = \underline{J}(a - a^2) = \underline{J}\sqrt{3} e^{j90^\circ}$$

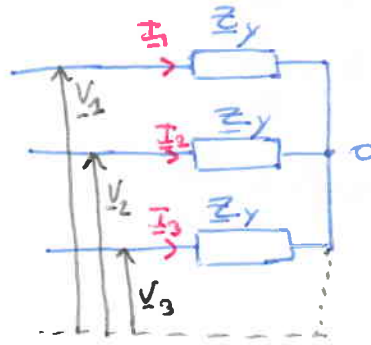
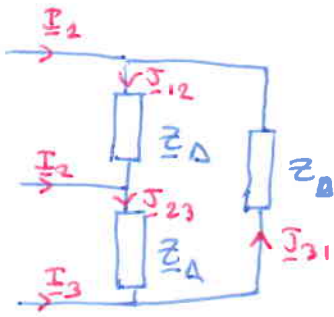


On pose: $\underline{J}_{12} = \underline{J}, \underline{J}_{23} = a^2 \underline{J}_{12}, \underline{J}_{31} = a \underline{J}_{12}$

$$\Rightarrow \underline{I} = \underline{J}\sqrt{3}$$



c) Equivalence entre les couplages étoile (Y) et triangles (Δ) des charges.



$$I = \frac{U}{Z_D}$$

$$I_1 = I e^{-j\varphi}, I_2 = a^2 I_1, I_3 = a I_1$$

$$I = I\sqrt{3} = \frac{U\sqrt{3}}{Z_D} = I_D$$

$$I_1 = I_2 = I_3 = I_Y = \frac{V}{Z_Y}$$

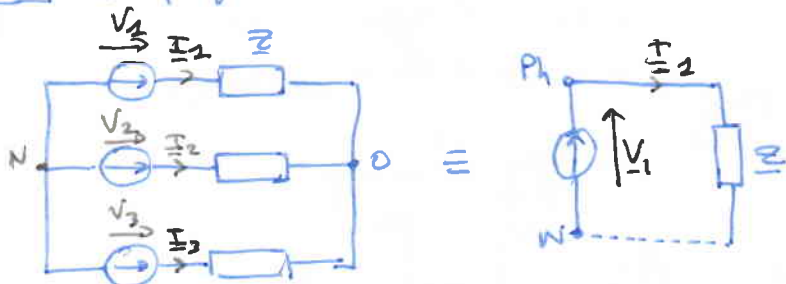
Pour $I_D = I_Y$, et que le système soit équivalent

$$\Rightarrow \frac{U\sqrt{3}}{Z_D} = \frac{V}{Z_Y} \Leftrightarrow (U = V\sqrt{3}) \Rightarrow \frac{3V}{Z_D} = \frac{V}{Z_Y} \Rightarrow \boxed{Z_D = 3Z_Y}$$

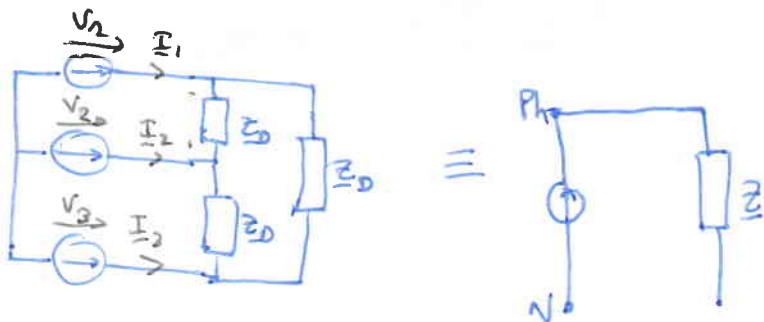
d) Schéma équivalent monophasé.

Les schémas équivalent monophasé ne sont valables que pour les régimes équilibrés.

BUT: Simplifier les calculs.



$$P_T = 3P_A$$



4) les puissances en triphasé.

$$p(t) = p_1 + p_2 + p_3 = v_1 i_1 + v_2 i_2 + v_3 i_3$$

$$p_1 = v_1 i_1 = 2VI \sin(\omega t) \sin(\omega t - \varphi) = VI \cos(\varphi) - VI \cos(2\omega t - \varphi)$$

Par analogie:

$$p_2 = v_2 i_2 = 2VI \cos(\varphi) - VI \cos(2(\omega t - \frac{2\pi}{3}) - \varphi) = VI \cos(\varphi) - VI \cos(2\omega t - \frac{2\pi}{3} - \varphi)$$

$$p_3 = v_3 i_3 = 2VI \cos(\varphi) - VI \cos(2(\omega t + \frac{2\pi}{3}) - \varphi) = VI \cos(\varphi) - VI \cos(2\omega t + \frac{2\pi}{3} - \varphi)$$

$$p(t) = p_1 + p_2 + p_3 = 3VI \cos(\varphi) - VI (\underbrace{\cos(2\omega t - \varphi) + \cos(2\omega t - \varphi + \frac{2\pi}{3}) + \cos(2\omega t - \varphi - \frac{2\pi}{3})}_{=0})$$

$$p(t) = 3VI \cos(\varphi) = \text{conste} = P \text{ (puissance active)}$$

$$Q = 3VI \sin(\varphi) \text{ (Puissance réactive)}$$

$$S = \sqrt{P^2 + Q^2} = 3VI \text{ (Puissance apparente)}$$

$$U = V\sqrt{3} \Leftrightarrow V = \frac{U}{\sqrt{3}}$$

$$S = 3VI = \sqrt{3} UI = \sqrt{P^2 + Q^2}$$

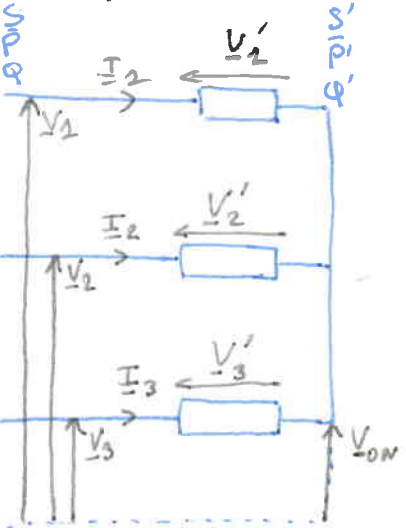
$$P = 3VI \cos(\varphi) = \sqrt{3} UI \cos(\varphi)$$

$$Q = 3VI \sin(\varphi) = \sqrt{3} UI \sin(\varphi)$$

$$\frac{P}{S} = \cos(\varphi) \quad \frac{Q}{S} = \frac{\sin(\varphi)}{\cos(\varphi)} = \tan(\varphi)$$

5) Puissances au niveau de la charge

* Couplage étoile



$$\underline{S} = P + jQ \quad \underline{S}' = P' + jQ'$$

$$\underline{S}' = \underline{S}'_1 + \underline{S}'_2 + \underline{S}'_3 = \underline{V}'_1 \underline{I}_1^* + \underline{V}'_2 \underline{I}_2^* + \underline{V}'_3 \underline{I}_3^*$$

$$\underline{S}' = (\underline{V}_1 - \underline{V}_{0N}) \underline{I}_1^* + (\underline{V}_2 - \underline{V}_{0N}) \underline{I}_2^* + (\underline{V}_3 - \underline{V}_{0N}) \underline{I}_3^*$$

$$\underline{S}' = \underline{V}_1 \underline{I}_1^* + \underline{V}_2 \underline{I}_2^* + \underline{V}_3 \underline{I}_3^* - \underline{V}_{0N} (\underline{I}_1^* + \underline{I}_2^* + \underline{I}_3^*)$$

* Avec fil neutre: $V_{0N} = 0$

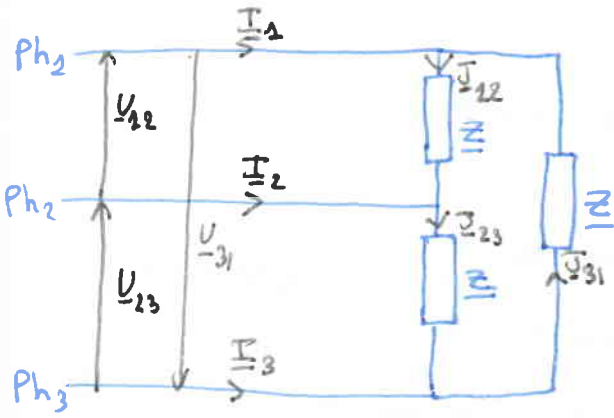
* Sans fil neutre: $\underline{I}_1^* + \underline{I}_2^* + \underline{I}_3^* = 0$

$$\Rightarrow \underline{S}' = \underline{S} \Rightarrow P' = P \text{ et } Q' = Q \Rightarrow \text{La puissance est conservatrice}$$

* Couplage triangle

Côté client

Côté réseau



$$\begin{aligned} S' &= S'_1 + S'_2 + S'_3 \\ \text{ou} \begin{cases} S'_1 &= U_{12} \times J_{12}^* \\ S'_2 &= U_{23} \times J_{23}^* \\ S'_3 &= U_{31} \times J_{31}^* \end{cases} \end{aligned}$$

$$\begin{aligned} S &= S_1 + S_2 + S_3 \\ \text{ou} \begin{cases} S_1 &= V_1 + I_1^* \\ S_2 &= V_2 + I_2^* \\ S_3 &= V_3 + I_3^* \end{cases} \end{aligned}$$

$$\begin{cases} I_1^* = J_{12}^* - J_{23}^* \\ I_2^* = J_{23}^* - J_{31}^* \\ I_3^* = J_{31}^* - J_{12}^* \end{cases}$$

$$S = V_1 (J_{12}^* + J_{23}^*) + V_2 (J_{23}^* - J_{12}^*) + V_3 (J_{31}^* - J_{23}^*)$$

$$S = J_{12}^* (V_1 - V_2) + J_{23}^* (V_2 - V_3) + J_{31}^* (V_3 - V_1)$$

$$S = U_{12} J_{12}^* + U_{23} J_{23}^* + U_{31} J_{31}^* = S^*$$

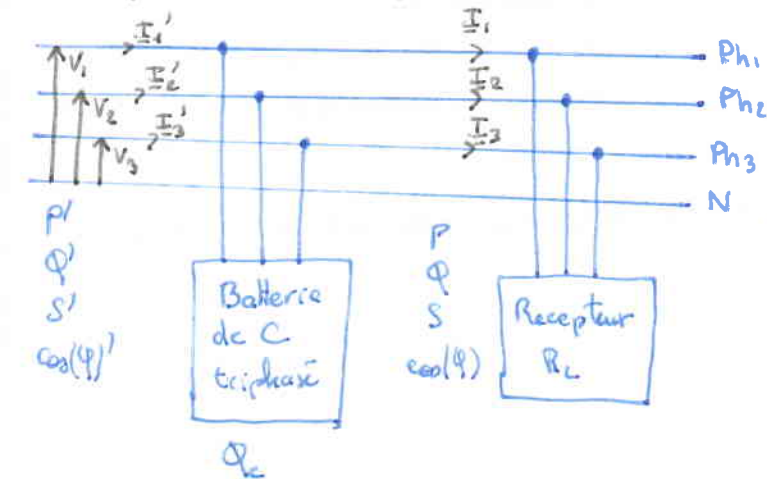
conclusion sur les puissances:

Quel que soit le couplage du récepteur

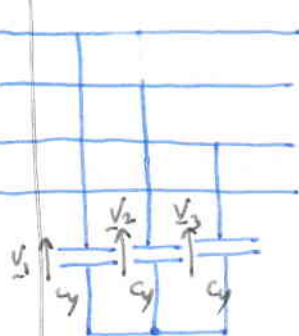
$$\Rightarrow \begin{cases} S = 3VI = \sqrt{3}UI = \sqrt{P^2 + Q^2} \\ P = 3VI \cos(\varphi) = \sqrt{3}UI \cos(\varphi) \\ Q = 3VI \sin(\varphi) = \sqrt{3}UI \sin(\varphi) \end{cases}$$

$$\begin{cases} \cos(\varphi) = \frac{P}{S} \text{ (Facteur de puissance, } F_p) \\ \tan(\varphi) = \frac{Q}{P} \end{cases}$$

6) Compensation d'énergie réactive



* C = ?

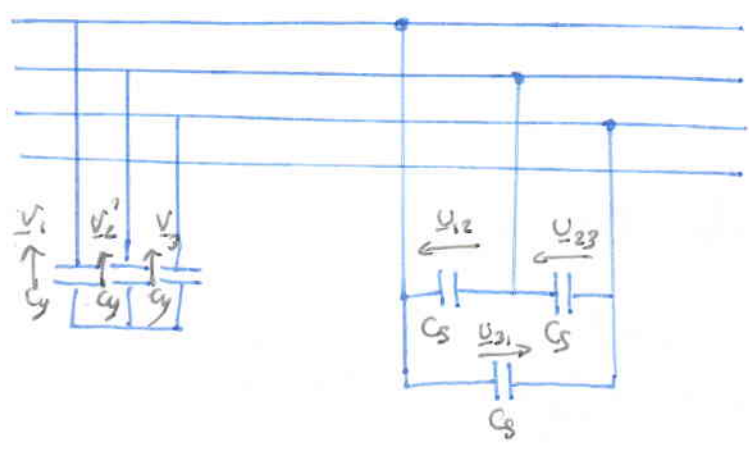


couplage étoile

$$\begin{aligned} \Rightarrow P &= P' & Q_c &= Q - Q' = P \tan(\varphi) - P \tan(\varphi') \\ \varphi &= \varphi - \varphi_c & Q_c &= P (\tan(\varphi) - \tan(\varphi')) \end{aligned}$$

* C = ?

Les condensateurs C peuvent être en couplage en étoile ou en triangle.



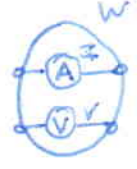
$Q_{Cy} = 3V^2 C_y \omega$ (étoile)

$Q_{C\Delta} = 3U^2 C_{\Delta} \omega$ (triangle)

$\Rightarrow C_{\Delta} < C_y \Rightarrow$ Montage triangle est la meilleure solution.

7) Mesure des puissances.

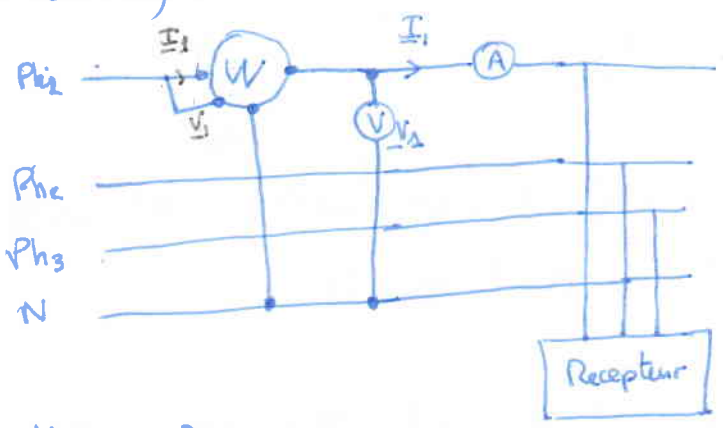
* Utilisation d'un wattmètre



wattmètre analogique: puissance active only (P)

wattmètre numérique:

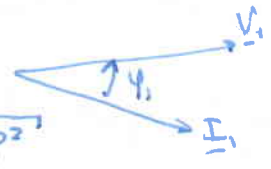
$P = VI \cos(\varphi)$
 $Q = VI \sin(\varphi)$
 $S = VI$
 $\cos(\varphi) = \frac{P}{S}$



Mesures: P_1, V_1, I_1

Calculs:

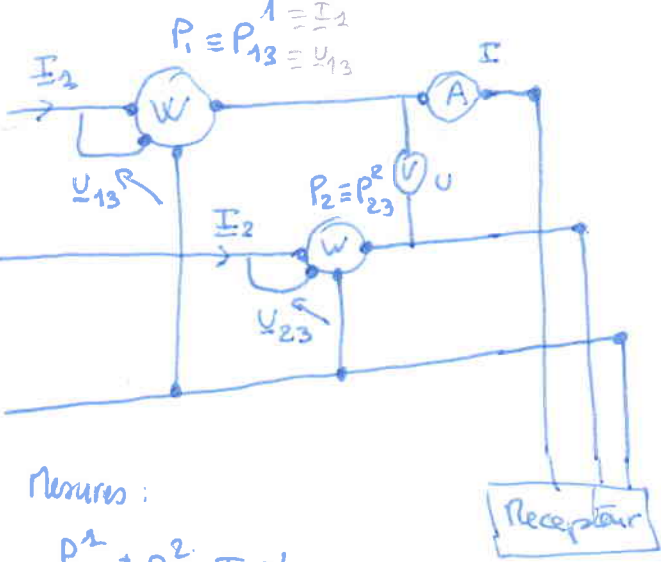
$P = 3 P_1$
 $S = 3 V_1 I_1$
 $Q = \sqrt{S^2 - P^2}$
 $\cos(\varphi) = \frac{P}{S} \Rightarrow \varphi_2$



Calculs:

$S = \sqrt{3} VI$
 $P = P_{13}^2 + P_{23}^2$
 $Q = \sqrt{3} (P_{13}^2 - P_{23}^2)$
 $\cos(\varphi) = \frac{P}{S}$

* Utilisation de deux wattmètres.



Mesures:

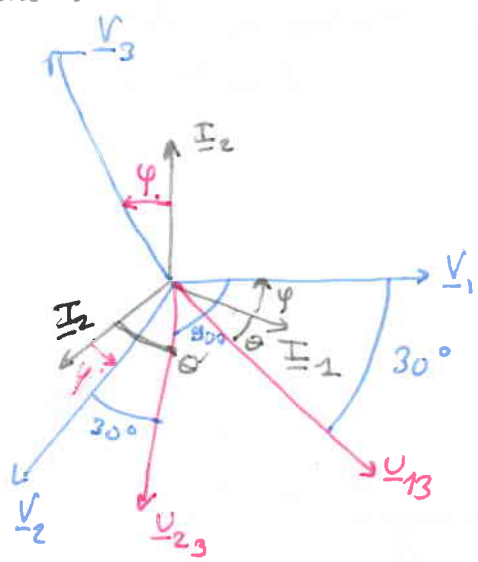
$P_{13}^1, P_{23}^2, I_1, U$

* Mesure d'énergie

$W_a = Pt$ Energie active (kWh) (J)
 [s] [w] [s] $W_r = Q t$ Energie réactive
 [kwh] [kw] [h] [kvarh] [kvar] [h]

[wh] [w] [h]

⇒ Remonstration des calculs de P et Q avec l'utilisation de 2 wattmètres.



Pourquoi? $\begin{cases} P = P_{13}^1 + P_{23}^2 \\ Q = \sqrt{3} (P_{13}^1 - P_{23}^2) \end{cases}$ $P = VI \cos(\widehat{V_1, I_1})$

$P_{13}^1 = U_{13} I_2 \cos(\widehat{U_{13}, I_2})$
 $P_{23}^2 = U_{23} I_2 \cos(\widehat{U_{23}, I_2})$

$P_{13}^2 = UI \cos(\frac{\pi}{6} - \varphi) = UI [\cos(\frac{\pi}{6}) \cos(\varphi) + \sin(\frac{\pi}{6}) \sin(\varphi)] = UI (\frac{\sqrt{3}}{2} \cos(\varphi) + \frac{1}{2} \sin(\varphi))$
 $P_{13}^1 = \frac{\sqrt{3}}{2} UI \cos(\varphi) + \frac{1}{2} UI \sin(\varphi)$

$P_{23}^2 = UI \cos(\frac{\pi}{6} + \varphi) = UI [\cos(\frac{\pi}{6}) \cos(\varphi) - \sin(\frac{\pi}{6}) \sin(\varphi)] = UI (\frac{\sqrt{3}}{2} \cos(\varphi) - \frac{1}{2} \sin(\varphi))$

$P_{23}^1 = \frac{\sqrt{3}}{2} UI \cos(\varphi) - \frac{1}{2} UI \sin(\varphi)$

$P_{13}^1 + P_{23}^2 = \sqrt{3} UI \cos(\varphi) = P$

$P_{13}^1 - P_{23}^2 = UI \sin(\varphi) = \frac{Q}{\sqrt{3}} \Rightarrow Q = \sqrt{3} (P_{13}^1 - P_{23}^2)$

1) Présentation:

Les systèmes en électrotechnique (Electrical Engineering) permettent de transformer ou convertir l'énergie électrique en une autre forme (mécanique, thermique, lumineuse).

L'énergie disponible ne peut pas être utilisée directement par le récepteur. Une interface est donc souvent nécessaire.

Si la transformation AC/DC utilise des semi-conducteurs. On réalise une interface électrique appelée Convertisseur Statique (CVS)

La discipline technologique associée à ces réalisations est appelée Electronique de Puissance (Power Electronics). Elle permet:

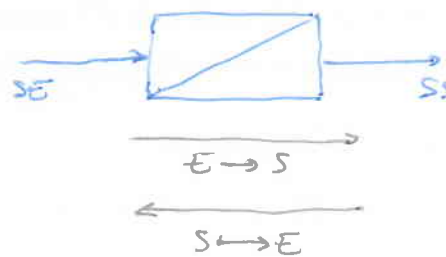
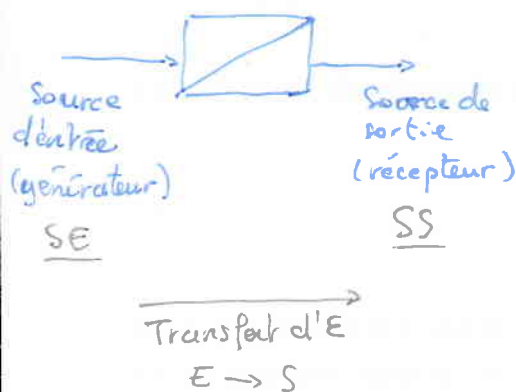
- Une utilisation plus souple et plus adaptée de l'EE.
- Une amélioration de la gestion du transport et de la distribution de l'EE.
- Une réduction des masses et des volumes mais également du bruit.

Un CVS est dispositif, à base de semi-conducteur qui transforme de l'EE disponible en une forme appropriée pour alimenter une charge.

2) Fonction de base et terminologie des CVS.

* CVS non-réversible

* CVS réversible



Les sources peuvent être alternatives (normes de distribution, alternateur, ...) ou continues (batterie, générateur à C-C, ...)

Il existe donc les fonctions de base des CVS permettent d'interconnecter ces sources.

- 1) CVS AC/DC : Redresseur (Rectifier)
- 2) CVS DC/AC : Onduleur (Inverter)
- 3) CVS DC/DC : Hacheur (Chopper)
- 4) CVS AC/AC : Gradateur (Dimmer)

Les CVS sont constitués :

- Des interrupteurs semi-conducteur (K : Diodes, transistors)
- Des éléments réactifs (ER) : L et C (Transformateur \equiv L)

Les éléments réactifs assurent le stockage et le transfert d'EE mais aussi la fonction de filtrage. Ils occupent une grande partie du poids, du volume et du coût des équipements.

3) Les Sources

CdC \Rightarrow SE et SS

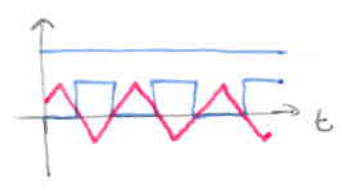
* Source de Tension : Tension constante (DC : V_{moy} et AC : V_{eff}) quelque soit la charge.



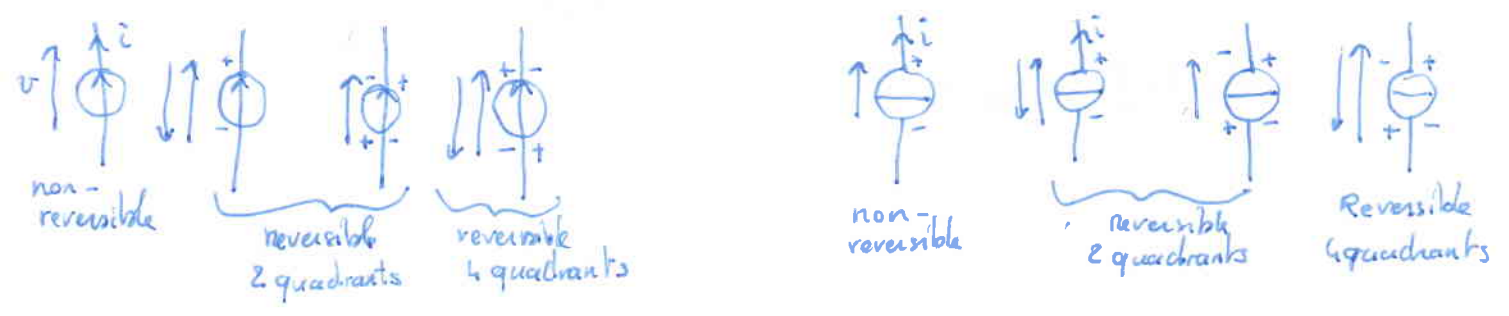
* Source de courant : Courant constant quelque soit la charge

Remarque :

- * Source unidirectionnelle
- * Source bidirectionnelle



* Réversibilité



Source de Tension

Source de Courant :

* Règle d'interconnexion des sources

- 1) Une source de tension ne peut pas être court-circuitée mais elle peut être ouverte.
- 2) Une source de courant ne peut pas être en circuit ouvert (sauf si $i = 0A$) mais elle peut être court-circuitée.
- 3) Seule 2 sources de nature différentes peuvent être connectées entre elles.

Remarque : Les sources sont interconnectées par l'intermédiaire des CVS.

4) Con figuration de base des CVS

- 1) Un CVS à liaison direct \equiv 2 sources de nature différentes
- 2) Un CVS à liaison indirect \equiv 2 sources de même nature.

5) Constitution des CVS.

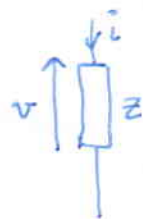
Les CVS doivent fonctionner avec un minimum de pertes (pertes \equiv chauffage)

Problèmes des pertes:

- \rightarrow Difficultés d'évacuer (dissiper) les pertes si elles sont trop importantes
- \rightarrow Coût des dispositifs dissipateurs de chaleur est important.
- \rightarrow La fiabilité d'un composant diminue quand sa température augmente.

Pour obtenir ce rendement maximum il faut utiliser des composants pour ou par

Pour que ce dipôle ne présente aucune pertes, la puissance active qu'il dissipe doit être nulle.
($P = 0W$)

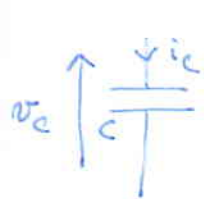


$$p(t) = v \cdot i$$

$$\hookrightarrow P = \frac{1}{T} \int_0^T p(t) dt$$

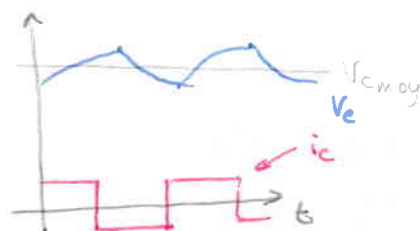
Pour que $P = 0W$, il faut que :

- $>$ Soit $p(t)$ est nulle à tout instant \Rightarrow K parfait.
- $>$ Soit P sur une période de fonctionnement est nulle \Rightarrow ER (L et C)



$$i_c = C \frac{dv_c}{dt}$$

$$I_{c, moy} = C \frac{d}{dt} (V_{c, max}) = 0$$



Listening:

- | | | |
|-------------------|----------------|--------------|
| 9: geography | 12: horses | 15: fishings |
| 10: Street market | 13: winter | 16: march |
| 11: magazine | 14: motorcycle | 17: Images |
| | | 18: Farming |

Drag the words into the correct boxes.

- | | | |
|-------------------|-------------------------|----------------|
| 1: cities | 4: leisure (or hobbies) | 7: people |
| 2: buildings | 5: places | 8: a subway |
| 3: transportation | 6: apartments | 9: system |
| | | 10: lifestyles |

Descriptive words for places.

- At the top of Mount Greylock, there are a fishair and a magnificent view.
- The campsite is in rural zone and quiet zone.
- Amiens is a city very windy and cold.

There are 7 questions in this quiz

- | | | |
|--------------------|-------------------|-------------------|
| 1) Fountain (a) | 3: (a) Route | 5: (b) pavement |
| 2) (b) Underground | 4: (c) Roundabout | 6: (a) playground |
| | | 7: (c) airport. |

Comparative forms:

- | | | | |
|------------|-----------------|------------|------------------|
| 1: Taller | 6: Happier | 7: Wiser | 10: more serious |
| 2: Greener | 5: Trendier | 8: cheaper | |
| 3: Fitter | 6: More nervous | 9: lazier | |

Match to make sentences.

- | | |
|---|---|
| 1) Last year, winter started so | d) suddenly that many people |
| 2) last winter, there were so | a) many storms that we had floods |
| 3) last year, we had such | c) a cold winter that I had to sleep with a hat on! |
| 4) last winter, there was so | e) much snow that I shied nearly every day |
| 5) last winter, there was such a lot of | f) snow that many wild animal died. |

6) Last winter was so cold that the water in the pipes froze

Use the word given in capital.

- 1: Argument
- 2: Marry
- 3: Politeness.
- 4: kindness
- 5: unable
- 6: friendship

Home work:

Complete the charts of countries and nationalities.

Country	Nationality	Country	Nationality
Brazil	Brazilian	Poland	Polish.
Germany	German	China	Chinese
France	French	Italy	Italian
Spain	Spanish	Russia	Russian
Japan	Japanese	Greece	Greek.
Great Britain	British	USA	American
Australia	Australian	Oman	Omani.
State of Kuwait	Kuwaiti	Iran	Iranian
Turkey	Turk	Sweden	Swedish

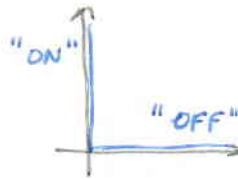
- 2. I am Austrian. I'm from Austria.
- 3. She is Belgian. She's from Belgium
- 4. They are Brazilian. They're from Brazil.
- 5. You are Chinese. You're from China
- 6. We are Egyptian. We're from Egypt.
- 7 He is English. He's from England.
- 8. You are Finnish. You're from Finland.
- 9. We are French. We're from France.
- 10. I am German. I'm from Germany
- 11. She is Greek. She's from Greece
- 12 They are Indian. They're from India.
- 13 He is Italian. He's from Italy
- 14 You are Japanese. You're from Japan.

- 15. We are Spanish. We're from Spain
- 16. I am Swedish. I'm from Sweden
- 17. She is Swiss. She's from Switzerland
- 18. They are Russian. They're from Russia

6) Les interrupteurs semi-conducteur.

Les k présentent 2 états stables en Régime Statique

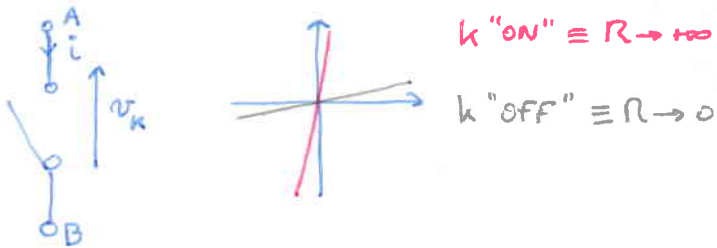
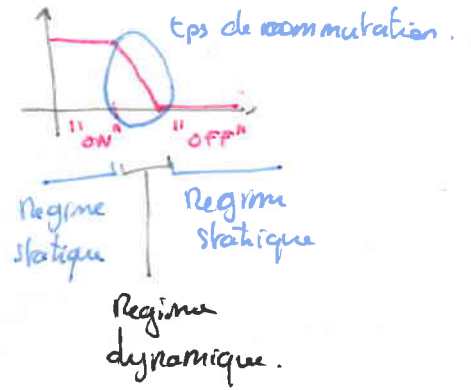
- > L'état passant "ON" : k est dit conducteur, fermé, amorcé.
- > L'état bloqué "OFF" : k est dit non-conducteur, ouvert, bloqué



Le passage d'un état à un autre (commutation, basculement) implique un fonctionnement transitoire en Régime Dynamique.

* Régime statique:

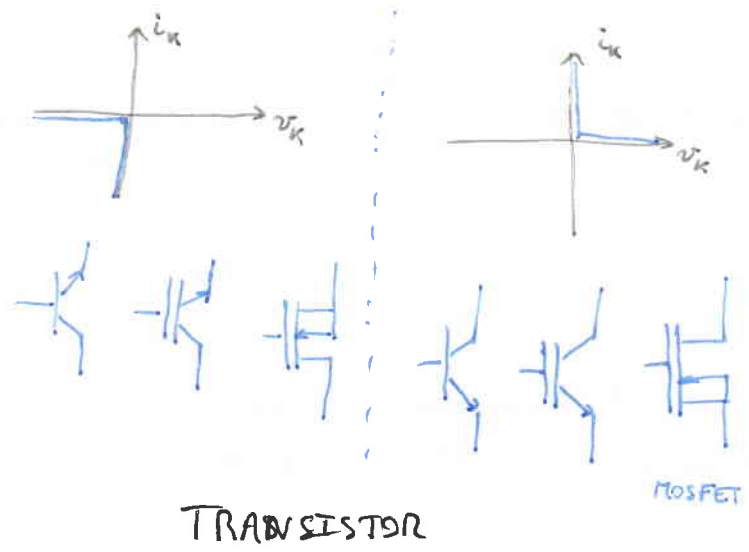
$k \equiv R \Rightarrow$ Dissipatif $\Rightarrow v_k i_k \neq 0 W$
 on utilise la convention récepteur.



Remarque:

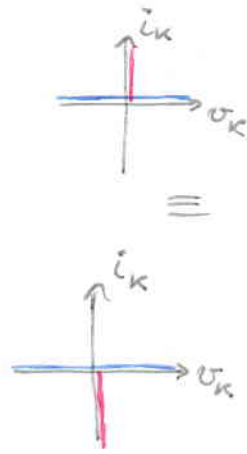
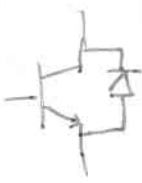
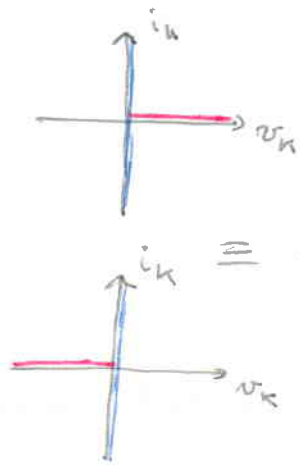
- Cas idéalise: la caractéristique est confondue avec les axes.
- k uni ou bidirectionnel en V ou I .

↳ 1^{er} cas : k à 2 segments



DIODE

↳ 2^e cas : k à 3 segments

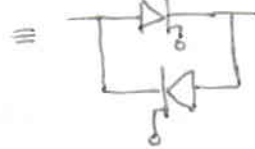
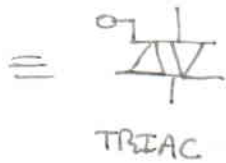
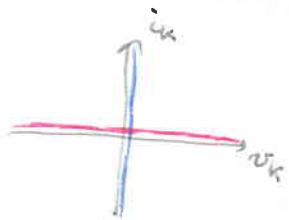


onduleur de courant

Bidirectionnel en I.

Bidirectionnel en V.

↳ 3^e cas : k à 4 segments



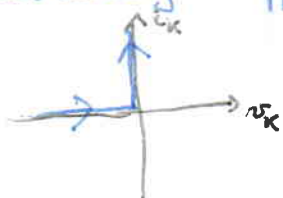
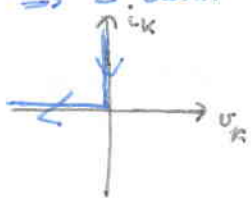
Bidirectionnel en I et V

* Regime dynamique

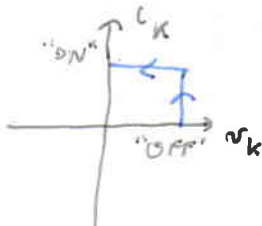
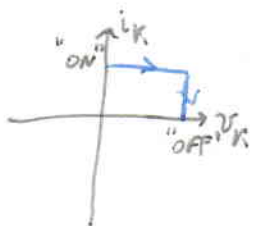
ce regime est défini par le passage d'un état à l'autre.

2 types de commutation :

⇒ 2 demi-axes de signes opposés : "Commutation spontanée" ⇒ Pas de cmd pour passer d'un état à l'autre.



⇒ DIODE



⇒ 2 demi-axes de même signe : "Commutation commandée / forcée" ⇒ Nécessité de la commander.

"b" blocage

"a" amorçage

les interrupteurs semi-conducteur (k) :

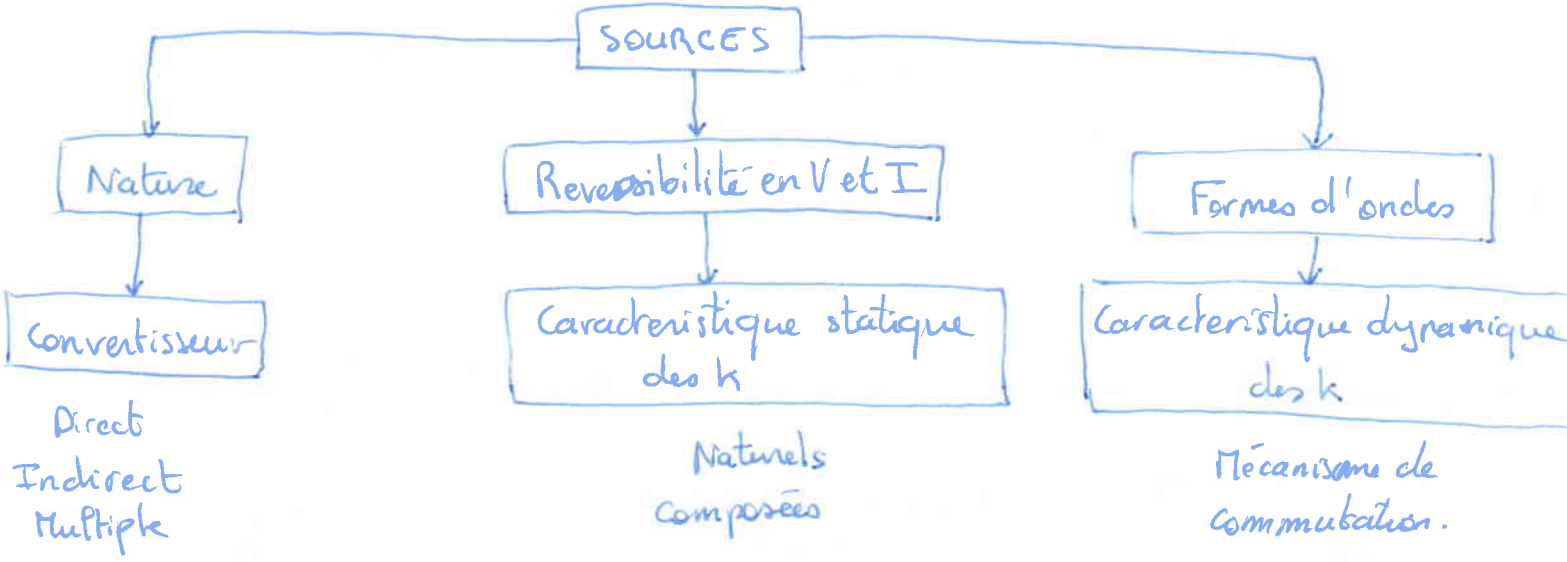
1: les diodes : k non commandés

2: les thyristors : k commandés à l'amorçage

3: les transistors : k commandés à l'amorçage et au blocage.

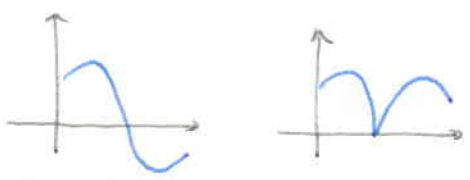
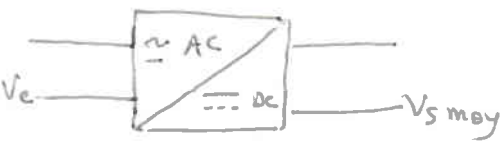
Conclusion:

C.d.C: Sources (SE, SS) -



II.1- La conversion AC/DC: Les Redresseurs Monophasés.

* Introduction



Il existe 3 types de redresseur:

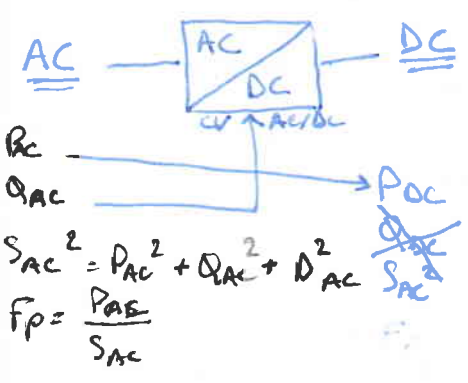
- ⇒ Redresseur non-commandé
 - CVS à diode
 - CVS non-reversible
 - $V_{s moy}$ constante
- ⇒ Redresseur commandé
 - CVS à thyristor
 - CVS reversible
 - $V_{s moy}$ variable.

- ⇒ Redresseur mixte
- CVS à Thyristor + diodes
 - CVS non-reversible
 - $V_{s moy}$ variable.

2 structures en mono-phase:

- ⇒ Type parallèle (type P)
- ⇒ Type parallèle double (type PD)

* P, Q, S, F_p :



K parfait $\Rightarrow P_E = P_s$

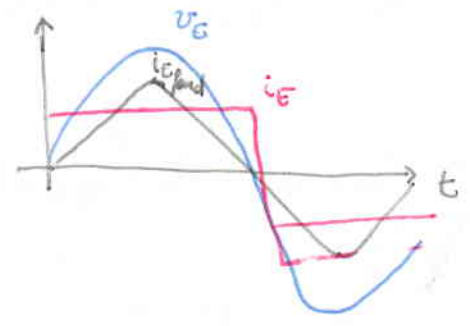
$$P_{AC} = V_E I_E \cos(\varphi_{fond})$$

$$Q_{AC} = V_E I_E \sin(\varphi_{fond})$$

$$S_{AC} = V_E I_E$$

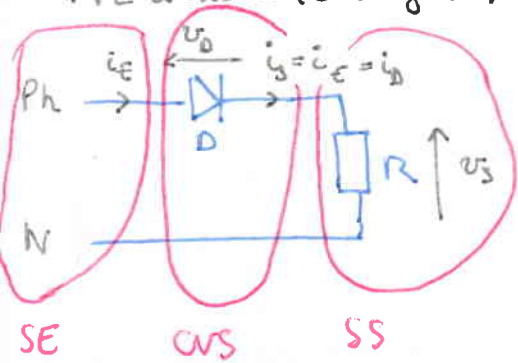
$$I_E \cos \varphi_{fond} = I_E \cos \varphi_{fond} e^{-j\varphi_{fond}}$$

$$i_E \cos \varphi_{fond} = I_E \cos \varphi_{fond} \sqrt{2} \sin(\omega t - \varphi_{fond}) / \varphi_{fond}$$



1) Le dresseur non-commandé

* P2 à diode (charge R)



$$v_e(t) = V\sqrt{2} \sin(\omega t)$$

$$v_e(\theta) = V\sqrt{2} \sin(\theta)$$

avec $\theta = \omega t$
 $\omega = 2\pi f$
 $f = \frac{1}{T}$

* Fonctionnement: 2 phases de fonctionnement sur 1 période

Phase ①: $0 < \theta < \pi$

D "ON"

$$v_D = 0^V$$

$$v_s = v_e$$

$$v_s = R i_s \Rightarrow i_s = \frac{v_s}{R} = \frac{v_e}{R}$$

$$i_s = i_e = i_D = \frac{v_e}{R}$$

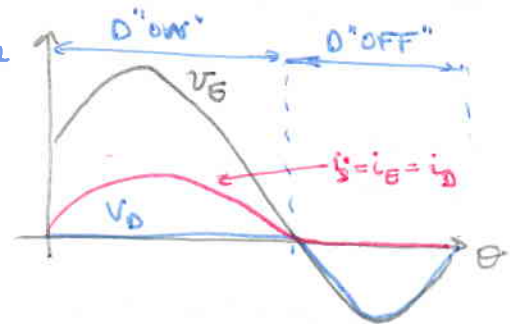
Phase ②: $\pi < \theta < 2\pi$

D "OFF"

$$i_D = 0^A = i_e = i_s$$

$$v_s = R i_s = 0^V$$

$$v_D = v_e$$



→ $V_{s \text{ moy}}$

$$V_{s \text{ moy}} = \frac{1}{2\pi} \int_0^{2\pi} v_s d\theta = \frac{1}{2\pi} \left[\int_0^{\pi} v_s d\theta + \int_{\pi}^{2\pi} v_s d\theta \right] = \frac{1}{2\pi} \int_0^{\pi} v_e d\theta$$

$$V_{s \text{ moy}} = \frac{1}{2\pi} \int_0^{\pi} V\sqrt{2} \sin(\theta) d\theta = \frac{V\sqrt{2}}{2\pi} \left[-\cos(\theta) \right]_0^{\pi} = \frac{V\sqrt{2}}{2\pi} \left(-\cos(\pi) + \cos(0) \right) = \frac{2V\sqrt{2}}{2\pi} = \frac{V\sqrt{2}}{\pi}$$

$$V_{s \text{ moy}} = \frac{V\sqrt{2}}{\pi}$$

→ $I_{s \text{ moy}}$

$$I_{s \text{ moy}} = I_{e \text{ moy}} = I_{D \text{ moy}} = \frac{V_{s \text{ moy}}}{R} = \frac{V\sqrt{2}}{\pi R}$$

→ P_{DC}

$$P_{DC} = \frac{1}{2\pi} \int_0^{2\pi} v_s i_s d\theta = \frac{1}{2\pi} \int_0^{\pi} v_s i_s d\theta = \frac{1}{2\pi} \cdot \frac{2V^2}{R} \cdot \int_0^{\pi} \sin^2(\theta) d\theta = \frac{V^2}{\pi R} \int_0^{\pi} \frac{1}{2} (1 - \cos(2\theta)) d\theta$$

$$P_{DC} = \frac{V^2}{2\pi R} \left[\theta - \frac{1}{2} \sin(2\theta) \right]_0^{\pi} = \frac{V^2}{2\pi R} \left(\pi - \frac{1}{2} \sin(2\pi) - 0 + \frac{1}{2} \sin(0) \right) = \frac{V^2}{2R}$$

où pour la phase ①:

$$v_s = v_e = V\sqrt{2} \sin(\theta); i_s = \frac{v_s}{R} = \frac{V\sqrt{2}}{R} \sin(\theta); v_s i_s = \frac{2V^2}{R} \sin^2(\theta); \sin^2(\theta) = \frac{1}{2} (1 - \cos(2\theta))$$

→ P_{AC}

k parfait $\Rightarrow P_{AC} = P_{DC} = \frac{V^2}{2R} = V \cdot \frac{V}{2R} \cos(\theta) \Rightarrow P_{AC} = V \cdot I_{E_{pond}} \cos(\varphi_{pond})$

→ φ_{AC}

$\varphi_{AC} = V I_{E_{pond}} \sin(\varphi_{pond}) = V \cdot \frac{V}{2R} \cdot \sin^2(\theta) = 0$

→ S_{AC}

$S_{AC} = V \cdot I_E$

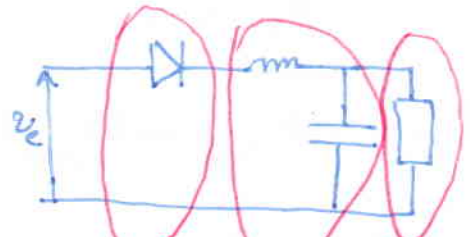
$I_E = \frac{V_s}{R}$ $V_s = \sqrt{\frac{1}{2\pi} \int_0^{2\pi} v_s^2 d\theta}$

$V_s^2 = \frac{1}{2\pi} \int_0^{2\pi} v_s^2 d\theta = \frac{2V^2}{2\pi} \int_0^{\pi} \sin^2(\theta) d\theta = \dots$

→ F_p

$F_p = \frac{P_{AC}}{S_{AC}} = \frac{\frac{V^2}{2R}}{\frac{V^2}{\sqrt{2}R}} = \frac{\sqrt{2}}{2} = 0,707$

$V_s^2 = \frac{V^2}{2\pi} [\theta - \frac{1}{2} \sin(2\theta)]_0^{\pi} = \frac{V^2}{2}$



Cvs Filter LC Charge.

↑
Pour améliorer la forme d'onde
 $\begin{cases} \Delta V_s \rightarrow 0 \\ \Delta I_s \rightarrow 0 \end{cases}$

→ Choisir D:

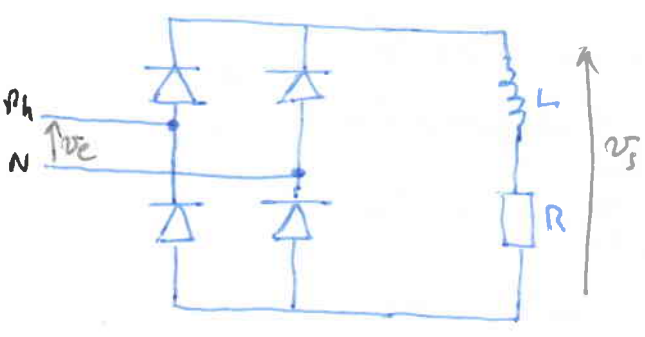
$V_{D_{max}} = V\sqrt{2}$

$v_e = V\sqrt{2} \sin(\theta)$

$I_{D_{max}} = \frac{V\sqrt{2}}{R}$

$V = 230V \Rightarrow V\sqrt{2} = 325V$

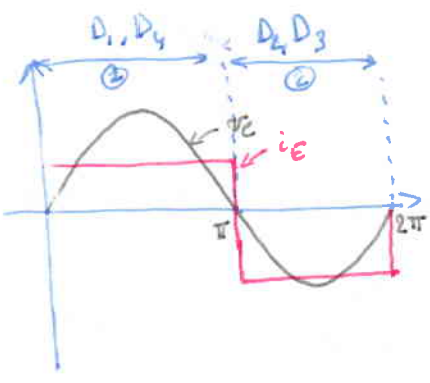
* PDZ à diodes (Charge RL)



$v_e = V\sqrt{2} \sin(\theta) = V\sqrt{2} \sin(\omega t)$ ($\omega = 2\pi f$; $T = \frac{1}{f}$)

• L est grande $\Rightarrow \Delta I_s \approx 0 \Rightarrow i_s = I_s = \text{constante}$

• k parfaits (les diodes sont parfaites) \Rightarrow Pas de pertes.
 $\Rightarrow P_{AC} = P_{DC}$ ($P_E = P_s$)



Phase ①: $0 < \theta \leq \pi$

D_1 "ON" D_4 "ON"
 D_2 "OFF" D_3 "OFF"

$v_{D1} = 0V$ $v_{D4} = 0V$
 $i_{D2} = 0A$ $i_{D3} = 0A$

$v_s = v_e$
 $i_E = i_{D1} = I_s$

Phase ②: $\pi < \theta < 2\pi$

D_2 "ON" D_3 "ON"
 D_1 "OFF" D_4 "OFF"

$v_{D2} = 0V$ $v_{D3} = 0V$
 $i_{D1} = 0A$ $i_{D4} = 0A$

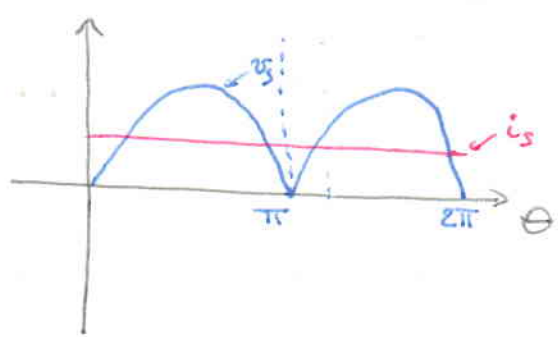
$v_s = -v_e$
 $i_E = -i_{D2} = -I_s$
 $v_{D1} = v_e$

* $V_{s\text{moy}}$:

$$V_{s\text{moy}} = \frac{1}{2\pi} \int_0^{2\pi} v_s d\theta = \frac{1}{\pi} \int_0^{\pi} v_s d\theta = \frac{1}{\pi} \int_0^{\pi} v_e d\theta$$

$$= \frac{1}{\pi} \int_0^{\pi} V\sqrt{2} \sin(\theta) d\theta = \frac{V\sqrt{2}}{\pi} [-\cos(\theta)]_0^{\pi}$$

$$= \frac{V\sqrt{2}}{\pi} (-\cos(\pi) + \cos(0)) = \frac{2\sqrt{2}}{\pi} V = V_{s\text{moy}}$$



* $P_{DC}, P_{AC}, S_{AC}, F_p$.

$$P_{DC} = \frac{1}{2\pi} \int_0^{2\pi} p_{DC} d\theta = \frac{1}{2\pi} \int_0^{2\pi} v_s i_s d\theta = I_s \cdot \frac{1}{2\pi} \int_0^{2\pi} v_s d\theta = V_{s\text{moy}} \cdot I_s$$

$$P_{DC} = \frac{2\sqrt{2}}{\pi} \cdot V \cdot I_s \quad p_{ac} = v_s \cdot i_s = v_s I_s$$

$$P_{AC} = P_{DC} = \frac{2\sqrt{2}}{\pi} V \cdot I_s = VI_{E\text{fond}} \cos(\varphi_{\text{fond}}) \Rightarrow \begin{cases} I_{E\text{fond}} = \frac{2\sqrt{2}}{\pi} I_s \\ \cos(\varphi_{\text{fond}}) = 1 \Rightarrow \sin(\varphi_{\text{fond}}) = 0 \end{cases}$$

$$Q_{AC} = VI_{E\text{fond}} \cdot \sin(\varphi_{\text{fond}}) = 0$$

$$S_{AC} = VI_E = VI_s \quad \text{ou} \quad I_E = \sqrt{\frac{1}{2\pi} \int_0^{2\pi} i_e^2 d\theta} = \sqrt{\frac{1}{2\pi} \int_0^{2\pi} I_s^2 d\theta} = \sqrt{I_s^2} = I_s = I_E$$

$$F_p = \frac{P_{AC}}{S_{AC}} = \frac{\frac{2\sqrt{2}}{\pi} V \cdot I_s}{VI_s} = \frac{2\sqrt{2}}{\pi}$$

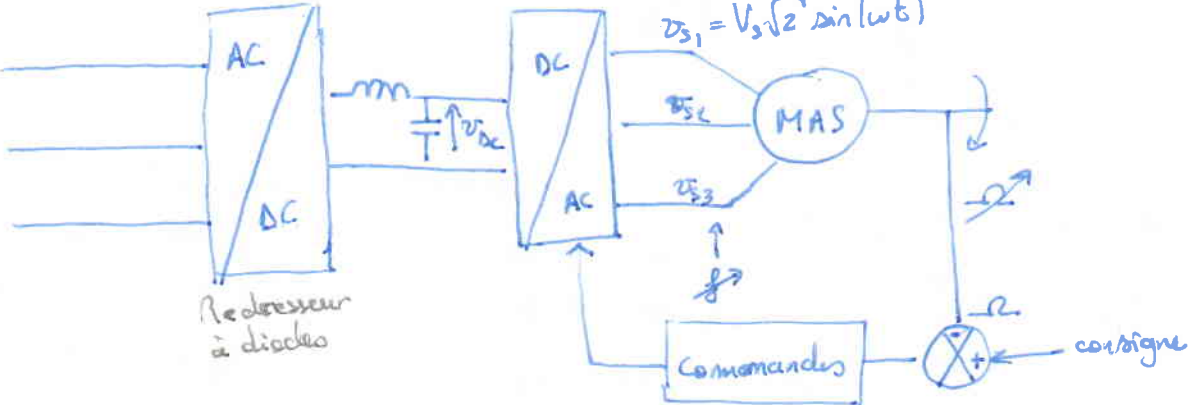
* Choix des diodes

$$\begin{cases} V_{D\text{max}} = V\sqrt{2} \\ I_{D\text{moy}} = I_s \end{cases}$$

- $V_{s\text{moy}} = \frac{V_{s\text{moy}} P_{DC}}{2}$
- CVS à base de diodes

- CVS non-reversible
- $V_{s\text{moy}} = \text{cte}$
- Pas de consommation de Q_{AC}

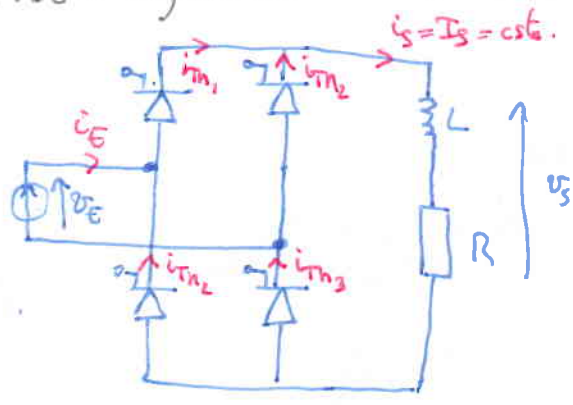
230V/400V
50Hz
Ph1
Ph2
Ph3



- Correcteur PI
- calcul des tensions de conds.

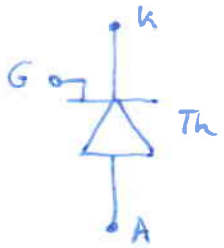
2) Redresseur commandé monophasé.

* PDE à Thyristors - Charge RL



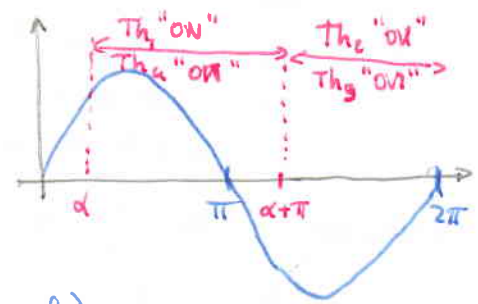
$v_E = V_E \sin(\omega t) = V_E \sin(\theta)$
 $i_S = I_S = c^{te} \Rightarrow \Delta I_S = 0 \Rightarrow L \text{ grand.}$

> les thyristors



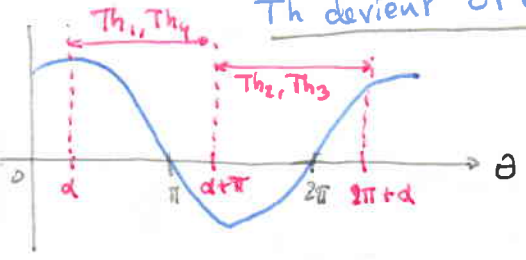
G : 3^e anode appelé gachète \Rightarrow contrôle de l'amorçage du thyristor.
 \Rightarrow signal de commande des Th.
 \hookrightarrow Trains d'impulsion.

Th devient "ON" si $\begin{cases} v_A > v_K \\ + \\ \text{impulsion sur la gachète} \end{cases}$



signal de commande $\equiv \alpha$: angle de retard à l'amorçage
 où $0 < \alpha < \pi$

Th devient "OFF": si $\begin{cases} i_{Th} = 0 \text{ (si le courant } i_{Th} \text{ s'annule)} \\ \text{l'amorçage de Th}_2 \text{ et Th}_3 \text{ va bloquer Th}_1 \text{ et Th}_4 \end{cases}$

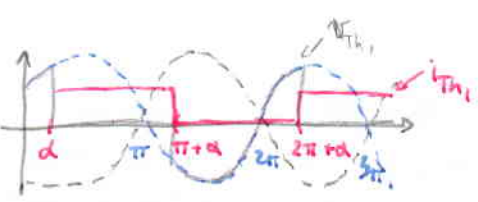
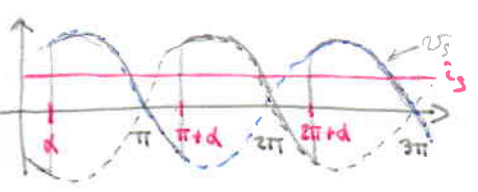


Phase 1 $\alpha < \theta < \alpha + \pi$

Th1 "ON" Th4 "ON"
 Th2 "OFF" Th3 "OFF"
 $v_{Th1} = 0^V$ $v_{Th4} = 0^V$
 $i_{Th2} = 0^A$ $i_{Th3} = 0^A$
 $v_S = v_E$
 $i_E = i_{Th1} = I_S$

Phase 2 $\pi + \alpha < \theta < 2\pi + \alpha$

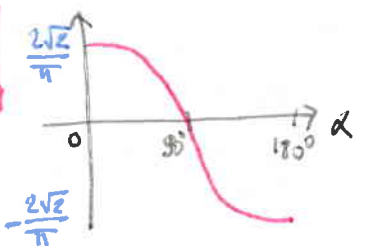
Th2 "ON" Th3 "ON"
 Th1 "OFF" Th4 "OFF"
 $v_{Th2} = 0^V$ $v_{Th3} = 0^V$
 $i_{Th1} = 0^A$ $i_{Th4} = 0^A$
 $v_S = -v_E$
 $i_E = -i_{Th2} = -I_S$
 $v_{Th1} = v_E$



* $V_{S \text{ moy}}$

$$V_{S \text{ moy}} = \frac{1}{\pi} \int_{\alpha}^{\pi+\alpha} v_S d\theta = \frac{1}{\pi} \int_{\alpha}^{\pi+\alpha} v_E d\theta = \frac{1}{\pi} \int_{\alpha}^{\pi+\alpha} V\sqrt{2} \sin(\theta) d\theta = \frac{V\sqrt{2}}{\pi} [-\cos(\theta)]_{\alpha}^{\pi+\alpha} = \frac{V\sqrt{2}}{\pi} (-\cos(\pi+\alpha) + \cos(\alpha))$$

$$V_{S \text{ moy}} = \frac{2\sqrt{2}}{\pi} V \cdot \cos(\alpha)$$



Remarque:

- $I_S = c^{te} = 0^A$
- $P_{DC} = V_{S \text{ moy}} \cdot I_S \Rightarrow \begin{cases} > 0^W & 0^\circ < \alpha < 90^\circ \\ < 0^W & 90^\circ < \alpha < 180^\circ \end{cases}$

* $P_{DC}, P_{AC}, Q_{AC}, S_{AC}, F_P$.

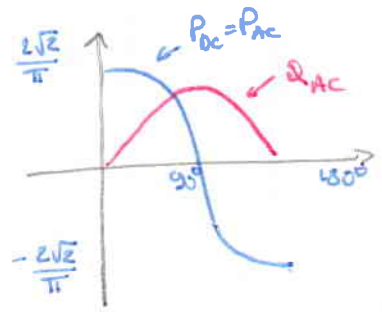
$$P_{DC} = \frac{1}{2\pi} \int_0^{2\pi} v_s i_s d\theta = I_s \frac{1}{2\pi} \int_0^{2\pi} v_s d\theta$$

$$P_{DC} = P_{AC} = \frac{2\sqrt{2}}{\pi} V_s I_s \cos(\alpha)$$

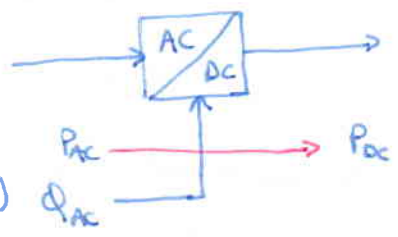
$$P_{AC} = V I_{E_{fond}} \cos(\varphi_{fond}) \Rightarrow \begin{cases} \cos(\varphi_{fond}) = \cos(\alpha) \Rightarrow \alpha = \varphi_{fond} \\ I_{E_{fond}} = \frac{2\sqrt{2}}{\pi} I_s \end{cases}$$

$$Q_{AC} = \frac{2\sqrt{2}}{\pi} V_s I_s \sin(\alpha) \quad \left| \quad F_P = \frac{P_{AC}}{S_{AC}} = \frac{2\sqrt{2}}{\pi} \cos(\alpha) \right.$$

$$S_{AC} = V I_e = V I_s$$

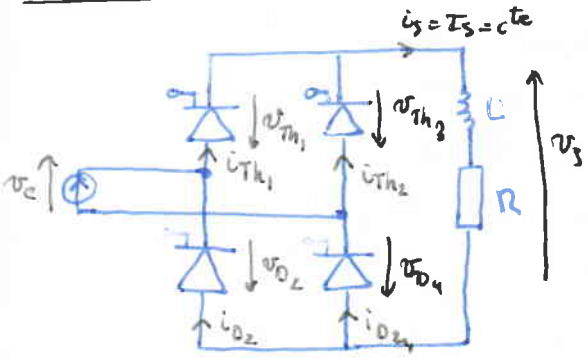


- $V_{s_{moy}}$ variable suivant α
- CVS à base de Thyristors
- CVS réversible : Transfert de puissance
 - $E \rightarrow S \quad \alpha < \theta < \pi + \alpha \quad P_{DC} > 0$
 - $S \rightarrow E \quad \pi + \alpha < \theta < 2\pi + \alpha \quad P_{DC} < 0$



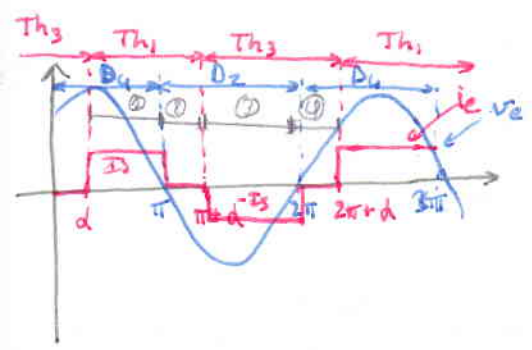
- Chaque Th "ON" $T_d/2$ où T_d = Période de découpage.
- Consommation de Q_{AC} (le pont H thyristors consomme de la Q)

3/ Redresseur mixte (Charge RL)



Hypothèses :

- $v_e = \sqrt{2} \sin(\omega t) = \sqrt{2} \sin(\theta)$
- $\Delta I_s = 0 \Rightarrow I_s = i_s = cte$ (L est grand)
- $K(Th, D)$ sont parfaits
- α : angle de retard à l'allumage de Th_1 et Th_3
 $0 < \alpha < 180^\circ$
- Régime permanent atteint



Phase ①
 $\alpha < \theta < \pi$
 Th_4 "ON" D_4 "ON"
 Th_3 "OFF" D_2 "OFF"
 $v_{Th_4} = 0V \quad v_{D_4} = 0V$
 $i_{Th_3} = 0A \quad i_{D_2} = 0V$
 $v_s = v_e$
 $i_e = i_{Th_1} = I_s$

Phase ②
 $\pi < \theta < \pi + \alpha$
 Th_1 "ON" D_2 "ON"
 Th_3 "OFF" D_4 "OFF"
 $v_{Th_1} = 0V \quad v_{D_2} = 0V$
 $i_{Th_3} = 0A \quad i_{D_4} = 0A$
 $v_s = 0V$
 Phase de sous-tirage
 $i_e = 0$

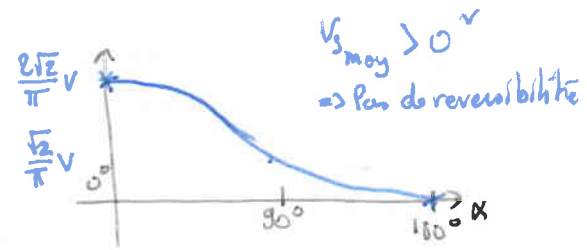
Phase ③
 $\pi + \alpha < \theta < 2\pi$
 Th_3 "ON" D_2 "ON"
 Th_1 "OFF" D_4 "OFF"
 $v_{Th_3} = 0V \quad v_{D_2} = 0V$
 $i_{Th_1} = 0A \quad i_{D_4} = 0A$
 $v_s = -v_e$
 $i_e = -i_{D_2} = -I_s$

Phase ④
 $2\pi < \theta < 2\pi + \alpha$
 Th_3 "ON" D_4 "ON"
 Th_1 "OFF" D_2 "OFF"
 $v_{Th_3} = 0V \quad v_{D_4} = 0V$
 $i_{Th_1} = 0A \quad i_{D_2} = 0A$
 $v_s = 0V$
 Phase de four-tirage.
 $i_e = 0$

* $V_{s\text{ moy}}$:

$$V_{s\text{ moy}} = \frac{1}{\pi} \int_0^{\pi} v_s d\theta = \frac{1}{\pi} \int_{\alpha}^{\pi} v_s d\theta = \frac{1}{\pi} \int_{\alpha}^{\pi} \sqrt{2} \sin(\theta) d\theta = \frac{\sqrt{2}}{\pi} [-\cos(\theta)]_{\alpha}^{\pi} = \frac{\sqrt{2}}{\pi} (-\cos(\pi) + \cos(\alpha))$$

$$V_{s\text{ moy}} = \frac{\sqrt{2}}{\pi} (1 + \cos(\alpha))$$

* $P_{DC}, P_{AC}, Q_{AC}, S_{AC}, F_P$

$$P_{DC} = \frac{1}{2\pi} \int_0^{2\pi} v_s i_s d\theta = V_{s\text{ moy}} \cdot I_s = \frac{\sqrt{2}}{\pi} V I_s (1 + \cos(\alpha)) = \frac{2\sqrt{2}}{\pi} V \cdot I_s \cos^2\left(\frac{\alpha}{2}\right)$$

$$P_{AC} = P_{DC} = V I_{E\text{ fond}} \cos(\varphi_{\text{fond}}) \Rightarrow \begin{cases} \cos(\varphi_{\text{fond}}) = \cos\left(\frac{\alpha}{2}\right) \Rightarrow \varphi_{\text{fond}} = \frac{\alpha}{2} \\ I_{E\text{ fond}} = \frac{2\sqrt{2}}{\pi} I_s \cos\left(\frac{\alpha}{2}\right) \end{cases}$$

$$Q_{AC} = V I_{E\text{ fond}} \sin(\varphi_{\text{fond}}) = \frac{2\sqrt{2}}{\pi} V I_s \cdot \underbrace{\cos\left(\frac{\alpha}{2}\right) \cdot \sin\left(\frac{\alpha}{2}\right)}_{\frac{1}{2} \sin(\alpha)} = \frac{\sqrt{2}}{\pi} V \cdot I_s \sin(\alpha)$$

$$\Rightarrow Q_{AC\text{ Pont mixte}} = \frac{Q_{AC\text{ Pont Th}}}{2}$$

$$S_{AC} = V I_E = V I_s \sqrt{1 - \frac{\alpha}{\pi}}$$

$$I_E = \sqrt{\frac{1}{\pi} \int_{\alpha}^{\pi} i_e^2 d\theta} = \sqrt{\frac{1}{\pi} \int_{\alpha}^{\pi} I_s^2 d\theta} = \sqrt{\frac{I_s^2}{\pi} [\theta]_{\alpha}^{\pi}} = I_s \sqrt{1 - \frac{\alpha}{\pi}}$$

$$F_P = \frac{P_{AC}}{S_{AC}} = \frac{\frac{2\sqrt{2}}{\pi} V I_s \cos^2\left(\frac{\alpha}{2}\right)}{V I_s \sqrt{1 - \frac{\alpha}{\pi}}} = \frac{2\sqrt{2}}{\pi} \cos^2\left(\frac{\alpha}{2}\right) \frac{1}{\sqrt{1 - \frac{\alpha}{\pi}}}$$

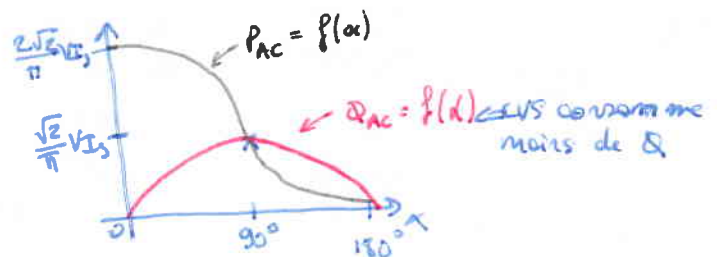
* Choix Th et D:

$$Th: \begin{cases} V_{Th\text{ inv max}} = \sqrt{2}V \\ I_{Th\text{ max}} = I_s \end{cases}$$

$$D: \begin{cases} V_{D\text{ inv max}} = \sqrt{2}V \\ I_{D\text{ max}} = I_s \end{cases}$$

* Conclusion

- $V_{s\text{ moy}} > 0$ et $I_s > 0^A \Rightarrow P_{DC} > 0^W$
- ↳ CVS non-reversible
- ↳ Pont mixte fonctionne qu'en redresseur.

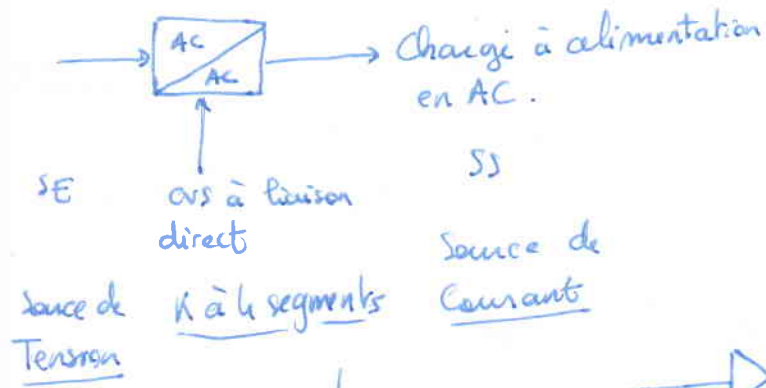


• CVS à base de Th et D

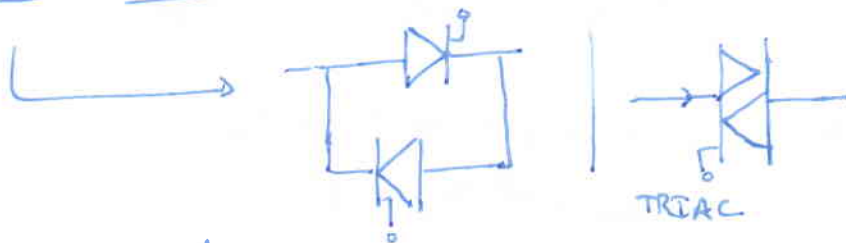
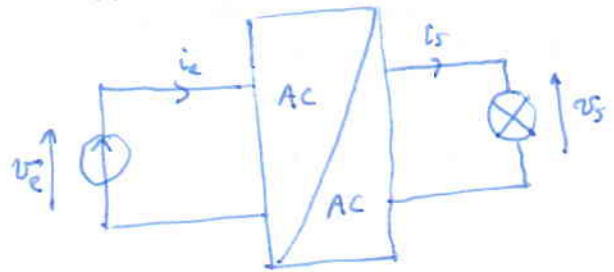
• $V_{s\text{ moy}}$ variable.

III / les Gradateurs "Dimmer"

1) Introduction



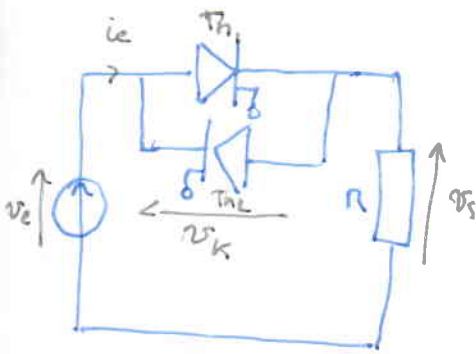
Applications



Il existe 2 types de commande:

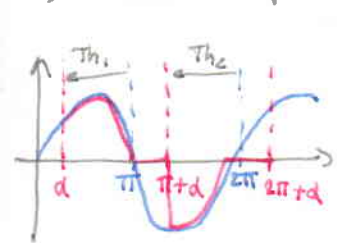
- Commande par angle de phase (éclairage: R ou RL)
- Commande par train d'onde (chauffage: R)

2) Gradateur monophasé:



- $v_e = \sqrt{2} \sin(\omega t) = \sqrt{2} \sin(\theta)$
- Th₁ devient "ON" si $v_e > 0$
 impulsion α
- Th₂ devient "ON" si $v_e < 0$
 impulsion α
- α angle de retard à l'armorçage $0^\circ < \alpha < 180^\circ$

3) Commande par angle de phase



Phase ①
 $\alpha < \theta < \pi$
 Th₁ "ON"
 Th₂ "OFF"
 $v_k = 0$
 $v_s = v_e$

Phase ②
 $\pi < \theta < \pi + \alpha$
 Th₁ "OFF"
 Th₂ "OFF"
 $i_k = 0$
 $i_s = 0$
 $v_s = 0 = R i_s$
 $v_k = v_e$

Phase ③
 $\pi + \alpha < \theta < 2\pi$
 Th₂ "ON"
 Th₁ "OFF"
 $v_k = 0$
 $v_s = v_e$

Phase ④
 $2\pi < \theta < 2\pi + \alpha$
 Th₁ "OFF"
 Th₂ "OFF"
 $i_k = 0$
 $i_s = 0$
 $v_s = 0$
 $v_k = v_e$

